

УДК 546.02:549.67

**УНИФИЦИРОВАННЫЕ ФОРМУЛЬНЫЕ И ОБЪЕМНЫЕ ХАРАКТЕРИСТИКИ
В СРАВНИТЕЛЬНОЙ КРИСТАЛЛОХИМИИ ПРИРОДНЫХ ЦЕОЛИТОВ**

© 2009 В.В. Бакакин^{1*}, Ю.В. Серёткин²

¹Институт неорганической химии им. А.В. Николаева СО РАН, Новосибирск

²Институт геологии и минералогии им. В.С. Соболева СО РАН, Новосибирск

Статья поступила 2 марта 2009 г.

Формулы природных цеолитов, как правило, громоздки, трудно сопоставимы, в их написании существует большой разнобой. Для алюмосиликатных цеолитов с каркасами $[(\text{Si},\text{Al})_n\text{O}_{2n}]$ дана полная сводка формул, нормированных на $n = 1$. Предложены новые объемные параметры для каркаса (взамен величины плотности каркаса FD) и цеолита в целом, вычисленные как эффективный объем "среднего" $(\text{Si},\text{Al},\text{O})$ -атома и "среднего" атома всего соединения. Показана эффективность сравнительного кристаллохимического анализа цеолитов в единой шкале с использованием унифицированных характеристик.

Ключевые слова: кристаллохимия, цеолиты, каркасные силикаты, плотность каркасов, нормализованные объемы.

Важнейшим для классификации цеолитов является вопрос о написании химических формул.

Г.Б. Бокий

Природные алюмосиликатные цеолиты характеризуются двумя структурными подсистемами: каркасной из тетраэдров $(\text{Si},\text{Al})\text{O}_4$ и внекаркасной из катионно-водных ассоциатов. Соответственно, их общую кристаллохимическую формулу (как и для всего разнообразия каркасных цеолитов [1]) принято представлять в виде двух составляющих — в квадратных и "лнейных" скобках: $[\text{M}_m(\text{H}_2\text{O})_x][(\text{Si},\text{Al})_n\text{O}_{2n}]$. Здесь M чаще всего Na^+ , K^+ , Ca^{2+} , Ba^{2+} , реже H^+ , Li^+ , Mg^{2+} , Sr^{2+} , причем для многих цеолитовых минералов как соединений переменного состава обычны сложные изоморфные замещения. Важно, что данное выражение, согласно [1—3], должно содержать полный состав элементарной ячейки. Это связано с описанием архитектуры каркасахозяина (вторичные и составные строительные единицы, конфигурация и строение пор и т.п.). По номенклатуре IUPAC для микро- и мезопористых материалов [3] такие геометрические характеристики включаются в кристаллохимическую формулу. Рисунок 1 дает представление о сложности формульных конструкций для соединений со смешанными — из разных полиэдров — каркасами, а попутно подготавливает читателя к восприятию формул "средней визуальной тяжести".

Все тетраэдрические каркасы цеолитов и аналогов (около 190 типов [2]) инвентаризованы, их топология кодирована Международной цеолитовой ассоциацией (IZA). Поэтому для них кристаллохимическая формула ограничивается двумя первыми позициями (см. рис. 1) плюс кодом IZA, стандартизующим всю дополнительную информацию.

* E-mail: bakakin@che.nsk.su

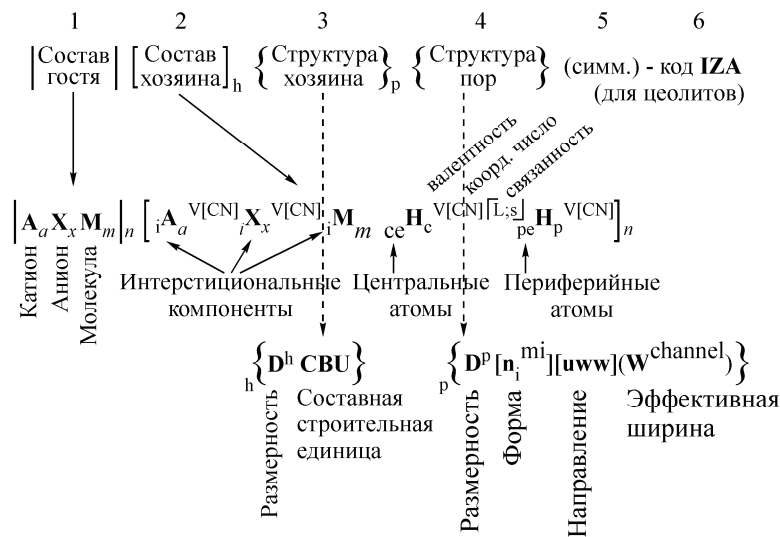


Рис. 1. Шесть составляющих детальной кристаллохимической формулы для микро- и мезопористых материалов (по [3])

Но в минералогии существует тенденция сохранить в формулах цеолитов, даже в их кристаллохимическом приближении, традиционные отличия: 1) помещение H_2O в конце; 2) предпочтительное написание идеализированной формулы с минимальными целочисленными коэффициентами. Если первое отличие носит формально-безобидный характер, то второе — при сложной нестехиометрии состава цеолитов — часто приводит к разнобоям в формулах, в том числе к ошибкам. Г.Б. Бокий в солидном труде "Систематика природных силикатов" [4] в разделе "Цеолиты" касается этого вопроса, справедливо указывая на важность такой структурной характеристики как число формульных единиц (Z) в элементарной ячейке. К сожалению, в [4] автором не выполняется собственное указание. Заметим, что и в отличной современного типа сводке по кристаллическим структурам природных цеолитов [5] (серия "Обзоры в минералогии и геохимии") содержится несколько неоговоренных исключений.

Насколько велик может быть разнобой в написании формулы цеолита одного структурного типа, показывает табл. 1 на примере технологически важного фоэзита и его модифицированных ионным обменом или дегидратацией форм.

Оставляя в стороне пестроту технических деталей оформления, отметим принципиальный факт разбиения на "формулы" состава одинаковой элементарной ячейки (куб, $Fd\bar{3}m$, $a \approx 24,7 \text{ \AA}$, $V \approx \approx 15000 \text{ \AA}^3$) восемью способами: $Z = 1, 2, 8, 12, 16, 32, 48, 192$. Эти значения соответствуют каркасным минералам: $[\text{T}_{192}\text{O}_{384}]$, $[\text{T}_{96}\text{O}_{192}]$, $[\text{T}_{24}\text{O}_{48}]$, $[\text{T}_{16}\text{O}_{32}]$, $[\text{T}_{12}\text{O}_{24}]$, $[\text{T}_6\text{O}_{12}]$, $[\text{T}_4\text{O}_8]$ и $[\text{TO}_2]$, причем некоторые из них (№ 9, № 11) кратно "упрощены". Здесь № 1 — формула, рекомендованная IZA; № 2 — ее предметный "минералогический" аналог; в № 6 — привлекательное объединение катионно-водного ассоциата, но при неверном общем согласовании с карка-

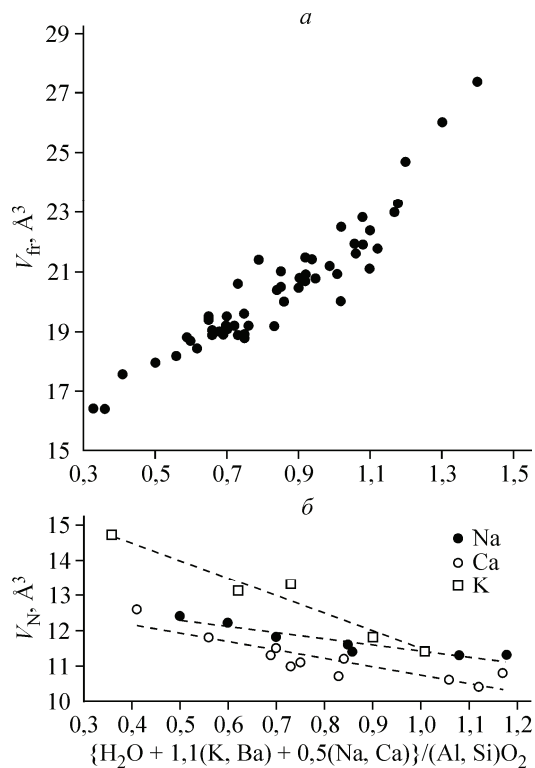


Рис. 2. Соотношение нормированных на $[(\text{Al}, \text{Si})\text{O}_2]$ внешкаркасных составов природных цеолитов и a — объемов каркаса V_{fr} , нормированных на один атом $(\text{Al}, \text{Si}, \text{O})$, b — объемов соединения V_N , нормированных на один "средний" атом

Т а б л и ц а 1

Примеры различного представления формулы цеолита фоязита

№	Формула	Z	Литература
1	$[(\text{Ca}^{2+}, \text{Mg}^{2+}, \text{Na}^+)_29(\text{H}_2\text{O})_{240}] [\text{Al}_{58}\text{Si}_{134}\text{O}_{384}] - \text{FAU}$	1	[2]
2	$\text{Na}_{20}\text{Ca}_{12}\text{Mg}_8 [\text{Al}_{60}\text{Si}_{132}\text{O}_{384}] \cdot 235\text{H}_2\text{O}$	1	[5]
3	$\text{H}_{59}[\text{AlO}_2]_{59}[\text{SiO}_2]_{133}$ (модифиц.)	1	[6], (Фоязит-1430)
4	$\text{Na}_{7,28}\text{Ce}_{5,76}\text{Al}_{24,56}\text{Si}_{71,44}\text{O}_{192}(\text{H}_2\text{O})_8$ (модифиц.)	2	[7]*
5	$(\text{Na}_2, \text{Ca}, \text{Mg})_{3,5}[\text{Al}_7\text{Si}_{17}\text{O}_{48}] \cdot 32(\text{H}_2\text{O})$	8	[8]
6	$[\text{AlSi}_3\text{O}_8]_4 \cdot \text{Na}_2\text{Ca}(\text{H}_2\text{O})_{16}$	12	[9]
7	$(\text{Na}, \text{Ca}_{0,5}, \text{Mg}_{0,5}, \text{K})_x[\text{Al}_x\text{Si}_{12-x}\text{O}_{24}] \cdot 16\text{H}_2\text{O}, 3,2 \leq x \leq 4,4$	16	[10]
8	$(\text{Na}, \text{Ca}_{0,5}, \text{Mg}_{0,5}, \text{K})_{3-4}[\text{Al}_{3-4}\text{Si}_{9-8}\text{O}_{24}] \cdot 16\text{H}_2\text{O}$	16	[11]
9	$(\text{Na}_2, \text{Ca}, \text{Mg})_2[\text{Si}_8\text{Al}_4\text{O}_{24}] \cdot 15\text{H}_2\text{O}$ **	16	[4]
10	$\text{Na}_2\text{Ca}[\text{AlSi}_2\text{O}_6]_4 \cdot 16\text{H}_2\text{O}$	16	[12]
11	$\text{Ca}_{0,731}\text{Si}_6\text{O}_{12,731}(\text{H}_2\text{O})_{0,894}$ (модифиц.)	32	[13]*
12	$(\text{Na}_2, \text{Ca})\text{Al}_2\text{Si}_4\text{O}_{12} \cdot 8\text{H}_2\text{O}$	32	[14]
13	$(\text{Na}_2\text{Ca})_{0,225}\text{H}_{0,3}(\text{Al}_{1,2}\text{Si}_{2,8}\text{O}_8)$ (модифиц.)	48	[15]*
14	$[\text{Na}_2\text{Ca}]_{0,22}[\text{Al}_{0,3}\text{Si}_{0,7}]\text{O}_2 \cdot 1,37\text{H}_2\text{O}$ ***	192	[6], (Фоязит-1429)
15	$\text{Cu}_{0,146}(\text{AlO}_2)_{0,292}(\text{SiO}_2)_{0,708}(\text{H}_2\text{O})_{0,747}$ (модифиц.)	192	[16]*

* Данные из Inorganic Crystal Structure Database (ICSD).

** В [4], очевидно, опечатка — нет коэффициента 2 после круглых скобок.

*** $[\text{Na}_2\text{Ca}]_{0,22}$, видимо, следует исправить на $[\text{Na}, \text{Ca}]_{0,22}$.

сом; № 7 — наиболее распространное и корректное выражение для изоморфной минеральной серии; № 8 и № 9 — конкретизированные варианты № 7; в № 11 — каркас $[\text{TO}_{>2,0}]$ как результат ущербного расчета анализа (?). Наконец, № 14 и № 15 — примеры непривычного приведения сложной формулы к минимальному каркасному "кирпичику" $[(\text{Al}, \text{Si})\text{O}_2]$. Найденные при подготовке данной работы, они привлекли особое внимание, так как подобную нормализацию каркасов, но в более общих целях, авторы применили ранее для Са-цеолитов [17]. Результат развития и использования такой методики унификации формул каркасных алюмосиликатов представляется ниже.

Природные цеолиты насчитывают более сорока структурных типов (каркасов разной топологии). Их формулы, как правило, визуально громоздки и трудно сопоставимы по деталям химического состава и соотношению каркасной и катионно-водной компонент. Даже в их упрощенных каркасных миналах $[(\text{Al}, \text{Si})_n\text{O}_{2n}]$ значения n кратны 2·3·4·5·6, 7·8, 9·17, 21 и т.д., и потому поиск для них общего сложного знаменателя контрпродуктивен. Однако задача легко решается при $n = 1$. Если нормировать все каркасы на n , т.е. привести их к виду $[\text{Al}_y\text{Si}_{1-y}\text{O}_2]$, то при нормировке на n и внекаркасной компоненты получим формулы, где можно удобно и корректно анализировать соотношения разных катионов и молекул H_2O на общей матричной основе (при колебании лишь Al/Si).

Такая нормировка выполнена нами для всех природных алюмосиликатных цеолитов. Табл. 2 содержит их полную сводку, насчитывающую более 50 минеральных видов. Из-за наличия сложных изоморфных замещений и переменных количеств H_2O часть исходных формул идеализирована. Использованы данные из [2, 5, 10]. За основу модификации взят компромиссный вариант написания из [5] — состав на элементарную ячейку ($Z = 1$), но H_2O , "по-минералогически", в конце формулы. В нормированных формулах, согласно [1, 2], внекаркасная компонента объединена, и это визуально облегчает их сравнительный анализ.

Т а б л и ц а 2

*Унифицированные формулы природных цеолитов и их нормированные объемные характеристики
(в порядке возрастания V_{fr})*

№	Название Индекс IZA*	Формулы: на элементарную ячейку [5] нормированная на $[(Al,Si)O_2]$	$\Sigma^{**} H_2O+M $		
				$V_{fr}, \text{ \AA}^3$	$V_N, \text{ \AA}^3$
1	2	3	4	5	6
1	Лейцит ANA	$K_{16}[Al_{16}Si_{32}O_{96}]$ $K_{0,33}[Al_{0,33}Si_{0,67}O_2]$	0,36	16,4	14,7
2	Бикитам BIK	$Li_2[Al_2Si_4O_{12}] \cdot 2H_2O$ $Li_{0,33}(H_2O)_{0,33}[Al_{0,33}Si_{0,67}O_2]$	0,33	16,4	11,4
3	Вайракит ANA	$Ca_8[Al_{16}Si_{32}O_{96}] \cdot 16H_2O$ $Ca_{0,165}(H_2O)_{0,33}[Al_{0,33}Si_{0,67}O_2]$	0,41	17,6	12,6
4	Аналъцим ANA	$Na_{16}[Al_{16}Si_{32}O_{96}] \cdot 16H_2O$ $Na_{0,33}(H_2O)_{0,33}[Al_{0,33}Si_{0,67}O_2]$	0,50	18,0	12,4
5	Югаваралит YUG	$Ca_2[Al_4Si_{12}O_{32}] \cdot 8H_2O$ $Ca_{0,125}(H_2O)_{0,5}[Al_{0,25}Si_{0,75}O_2]$	0,56	18,2	11,8
6	Монтесоммаит MON	$K_9[Al_9Si_{23}O_{64}] \cdot 10H_2O$ $K_{0,28}(H_2O)_{0,31}[Al_{0,28}Si_{0,72}O_2]$	0,62	18,4	13,1
7	Натролит NAT	$Na_{16}[Al_{16}Si_{24}O_{80}] \cdot 16H_2O$ $Na_{0,4}(H_2O)_{0,4}[Al_{0,4}Si_{0,6}O_2]$	0,60	18,7	12,2
8	Феррьерит FER	$(Na,K)Mg_2Ca_{0,5}[Al_6Si_{30}O_{72}] \cdot 20H_2O$ (Na,K) _{0,03} Mg _{0,06} Ca _{0,01} (H ₂ O) _{0,55} [Al _{0,17} Si _{0,83} O ₂]	0,59	18,8	11,9
9	Мутинайт (MFI)	$Ca_4Na_3[Al_{11}Si_{85}O_{192}] \cdot 60H_2O$ $Ca_{0,04}Na_{0,03}(H_2O)_{0,625}[Al_{0,11}Si_{0,89}O_2]$	0,66	18,9	11,4
10	Эпистильбит EPI	$Ca_3[Al_6Si_{18}O_{48}] \cdot 16H_2O$ $Ca_{0,125}(H_2O)_{0,67}[Al_{0,25}Si_{0,75}O_2]$	0,73	18,9	11,0
11	Томсонит THO	$Ca_8Na_4[Al_{20}Si_{20}O_{80}] \cdot 24H_2O$ $Ca_{0,2}Na_{0,1}(H_2O)_{0,6}[Al_{0,5}Si_{0,5}O_2]$	0,75	18,9	11,1
12	Гусекрикит GOO	$Ca_2[Al_4Si_{12}O_{32}] \cdot 10H_2O$ $Ca_{0,125}(H_2O)_{0,625}[Al_{0,25}Si_{0,75}O_2]$	0,69	18,9	11,3
13	Мезолит NAT	$Na_{16}Ca_{16}[Al_{48}Si_{72}O_{240}] \cdot 64H_2O$ $Na_{0,13}Ca_{0,13}(H_2O)_{0,53}[Al_{0,4}Si_{0,6}O_2]$	0,66	19,0	11,7
14	Дакиардит DAC	$(Na,K,Ca_{0,5})_4[Al_4Si_{20}O_{48}] \cdot 14H_2O$ (Na,K,Ca _{0,5}) _{0,17} (H ₂ O) _{0,58} [Al _{0,17} Si _{0,83} O ₂]	0,68	19,0	11,6
15	Сколецит NAT	$Ca_8[Al_{16}Si_{24}O_{80}] \cdot 24H_2O$ $Ca_{0,2}(H_2O)_{0,6}[Al_{0,4}Si_{0,6}O_2]$	0,70	19,1	11,5
16	Брюстерит BRE	$(Sr,Ba)_2[Al_4Si_{12}O_{32}] \cdot 10H_2O$ (Sr,Ba) _{0,125} (H ₂ O) _{0,625} [Al _{0,25} Si _{0,75} O ₂]	0,76	19,2	11,5
17	Готтардиит (NES)	$Ca_5Na_3Mg_3[Al_{19}Si_{117}O_{272}] \cdot 93H_2O$ $Ca_{0,04}Na_{0,02}Mg_{0,02}(H_2O)_{0,68}[Al_{0,14}Si_{0,86}O_2]$	0,71	19,2	11,2
18	Ломонтит LAU	$Ca_4[Al_8Si_{16}O_{48}] \cdot 18H_2O$ $Ca_{0,165}(H_2O)_{0,75}[Al_{0,33}Si_{0,67}O_2]$	0,83	19,2	10,7
18'	K _{Na} -ломонтит LAU	$Ca_{2,2}Na_{1,8}K_{1,8}[Al_8Si_{16}O_{48}] \cdot 14H_2O$ $Ca_{0,09}Na_{0,075}K_{0,075}(H_2O)_{0,58}[Al_{0,33}Si_{0,67}O_2]$	0,75	18,8	11,4
19	Тетранатролит NAT	$Na_7Ca[Al_9Si_{11}O_{40}] \cdot 10H_2O$ $Na_{0,35}Ca_{0,05}(H_2O)_{0,50}[Al_{0,45}Si_{0,55}O_2]$	0,70	19,2	11,8
20	Гоннардит NAT	$Na_5Ca_2[Al_9Si_{11}O_{40}] \cdot 11H_2O$ $Na_{0,25}Ca_{0,1}(H_2O)_{0,55}[Al_{0,45}Si_{0,55}O_2]$	0,72	19,2	11,6
21	Морденит MOR	$Na_3Ca_2K[Al_8Si_{40}O_{96}] \cdot 28H_2O$ $Na_{0,06}Ca_{0,04}K_{0,02}(H_2O)_{0,58}[Al_{0,17}Si_{0,83}O_2]$	0,65	19,4	11,9
22	Террановайт TER	$Na_4Ca_4[Al_{12}Si_{68}O_{160}] \cdot >29H_2O \rightarrow 48H_2O^{a)}$ $Na_{0,05}Ca_{0,05}(H_2O)_{0,6}[Al_{0,15}Si_{0,85}O_2]$	0,65	19,5	11,9

Продолжение табл. 2

1	2	3	4	5	6
23	Клиноптилолит HEU	(Na,K) ₆ [Al ₆ Si ₃₀ O ₇₂]·20H ₂ O (Na,K) _{0,17} (H ₂ O) _{0,56} [Al _{0,17} Si _{0,83} O ₂]	0,70	19,5	12,0
24	Гейландинт HEU	Ca ₄ (Na,K)[Al ₉ Si ₂₇ O ₇₂]·24H ₂ O Ca _{0,11} (Na,K) _{0,03} (H ₂ O) _{0,67} [Al _{0,25} Si _{0,75} O ₂]	0,75	19,6	11,1
25	Эдингтонит EDI	Ba ₂ [Al ₄ Si ₆ O ₂₀]·8H ₂ O Ba _{0,2} (H ₂ O) _{0,8} [Al _{0,4} Si _{0,6} O ₂]	1,02	20,0	10,7
26	Паранатролит-К NAT	Na ₁₆ K ₂ [Al ₁₈ Si ₂₂ O ₈₀]·24H ₂ O Na _{0,4} K _{0,05} (H ₂ O) _{0,6} [Al _{0,45} Si _{0,55} O ₂]	0,86	20,0	11,4
27	Стеллерит STI	Ca ₄ [Al ₈ Si ₂₈ O ₇₂]·28H ₂ O Ca _{0,11} (H ₂ O) _{0,78} [Al _{0,22} Si _{0,78} O ₂]	0,84	20,4	11,2
28	Стильбит STI	Ca ₄ Na[Al ₉ Si ₂₇ O ₇₂]·30H ₂ O Ca _{0,11} Na _{0,03} (H ₂ O) _{0,83} [Al _{0,25} Si _{0,75} O ₂]	0,90	20,45	11,0
29	Баррерит STI	Na ₄ K ₂ Ca[Al ₈ Si ₂₈ O ₇₂]·26H ₂ O Na _{0,11} K _{0,05} Ca _{0,03} (H ₂ O) _{0,72} [Al _{0,22} Si _{0,78} O ₂]	0,85	20,5	11,5
30	Перлиалит (LTL)	K ₉ Na(Ca,Sr)[Al ₁₂ Si ₂₄ O ₇₂]·15H ₂ O K _{0,25} Na _{0,03} (Ca,Sr) _{0,03} (H ₂ O) _{0,42} [Al _{0,33} Si _{0,67} O ₂]	0,73	20,6	13,3
31	<i>Мацум</i> MAZ	Mg _{2,5} K ₂ Ca _{1,5} [Al ₁₀ Si ₂₆ O ₇₂]·30H ₂ O Mg _{0,07} K _{0,06} Ca _{0,04} (H ₂ O) _{0,83} [Al _{0,28} Si _{0,72} O ₂]	0,92	20,7	11,0
32	Мерлиноит MER	K ₅ Ca ₂ [Al ₉ Si ₂₃ O ₆₄]·(H ₂ O) ₂₂ K _{0,16} Ca _{0,06} (H ₂ O) _{0,69} [Al _{0,28} Si _{0,72} O ₂]	0,90	20,8	11,8
33	Эрионит ERI	K ₂ (Ca _{0,5} ,Na) ₇ [Al ₉ Si ₂₇ O ₇₂]·28H ₂ O K _{0,06} (Ca _{0,5} ,Na) _{0,19} (H ₂ O) _{0,78} [Al _{0,25} Si _{0,75} O ₂]	0,95	20,8	11,0
34	Филлипсит PHI	K ₂ (Ca _{0,5} ,Na) ₄ [Al ₆ Si ₁₀ O ₃₂]·12H ₂ O K _{0,125} (Ca _{0,5} ,Na) _{0,25} (H ₂ O) _{0,75} [Al _{0,37} Si _{0,63} O ₂]	1,01	20,9	11,4
35	Гармотом PHI	Ba ₂ (Na,Ca _{0,5})[Al ₅ Si ₁₁ O ₃₂]·12H ₂ O Ba _{0,125} (Na,Ca _{0,5}) _{0,06} (H ₂ O) _{0,75} [Al _{0,31} Si _{0,69} O ₂]	0,92	20,9	11,5
36	Гоббинсит GIS	Na ₅ [Al ₅ Si ₁₁ O ₃₂]·11H ₂ O Na _{0,31} (H ₂ O) _{0,69} [Al _{0,31} Si _{0,69} O ₂]	0,85	21,0	11,6
37	<i>Кальборсит</i> EDI	K ₁₂ Cl ₂ (B(OH) ₄) ₂ [Al ₈ Si ₁₂ O ₄₀] K _{0,6} Cl _{0,1} (B _{0,1} (OH) _{0,4}) [Al _{0,4} Si _{0,6} O ₂]	1,10	21,1	13,8
38	Гарронит GIS	Ca _{2,5} Na[Al ₆ Si ₁₀ O ₃₂]·14H ₂ O Ca _{0,16} Na _{0,06} (H ₂ O) _{0,88} [Al _{0,38} Si _{0,62} O ₂]	0,99	21,2	10,9
39	<i>Боггсит</i> BOG	Ca ₈ Na ₃ [Al ₁₉ Si ₇₉ O ₁₉₂]·70H ₂ O Ca _{0,08} Na _{0,03} (H ₂ O) _{0,73} [Al _{0,18} Si _{0,82} O ₂]	0,79	21,4	12,1
40	Полингит PAU	Ca ₅₉ K ₃₆ Na ₁₄ Ba ₂ [Al ₁₇₂ Si ₅₀₀ O ₁₃₄₄]·550H ₂ O Ca _{0,09} K _{0,05} Na _{0,02} (H ₂ O) _{0,82} [Al _{0,26} Si _{0,74} O ₂]	0,94	21,4	11,4
41	Оффретит OFF	KCaMg[Al ₅ Si ₁₃ O ₃₆]·15H ₂ O K _{0,05} Ca _{0,06} Mg _{0,06} (H ₂ O) _{0,83} [Al _{0,28} Si _{0,72} O ₂]	0,92	21,5	11,4
42	Черничит (BEA)	Ca ₈ [Al ₁₆ Si ₄₈ O ₁₂₈]·64H ₂ O Ca _{0,125} (H ₂ O) _{1,0} [Al _{0,25} Si _{0,75} O ₂]	1,06	21,6	10,6
43	Жисмондин GIS	Ca ₄ [Al ₈ Si ₈ O ₃₂]·16H ₂ O Ca _{0,25} (H ₂ O) _{1,0} [Al _{0,5} Si _{0,5} O ₂]	1,12	21,8	10,4
44	<i>Амичит</i> GIS	K ₄ Na ₄ [Al ₈ Si ₈ O ₃₂]·10H ₂ O K _{0,25} Na _{0,25} (H ₂ O) _{0,63} [Al _{0,5} Si _{0,5} O ₂]	1,08	21,9	12,2
45	Левин-Са LEV	Ca ₈ Na ₂ K[Al ₁₉ Si ₃₅ O ₁₀₈]·50H ₂ O Ca _{0,15} Na _{0,04} K _{0,02} (H ₂ O) _{0,93} [Al _{0,35} Si _{0,65} O ₂]	1,06	21,9	10,9
46	Уилхендерсонит CHA	K ₂ Ca ₂ [Al ₆ Si ₆ O ₂₄]·10H ₂ O K _{0,17} Ca _{0,17} (H ₂ O) _{0,83} [Al _{0,5} Si _{0,5} O ₂]	1,10	22,4	11,5
47	Белльбергит (EAB)	K ₂ Sr ₂ Ca ₆ [Al ₁₈ Si ₁₈ O ₇₂]·30H ₂ O K _{0,05} Sr _{0,05} Ca _{0,17} (H ₂ O) _{0,83} [Al _{0,5} Si _{0,5} O ₂]	1,02	22,5	11,7
48	Гмелинит-На GME	Na ₈ [Al ₈ Si ₁₆ O ₄₈]·22H ₂ O Na _{0,33} (H ₂ O) _{0,92} [Al _{0,33} Si _{0,67} O ₂]	1,08	22,8	11,3

Окончание табл. 2

1	2	3	4	5	6
48'	Гмелинит-Са GME	(Ca,Sr) _{3,5} Na[Al ₈ Si ₁₆ O ₄₈]·23H ₂ O (Ca,Sr) _{0,15} Na _{0,04} (H ₂ O) _{0,96} Al _{0,33} Si _{0,67} O ₂]	1,08	22,8	11,3
49	Шабазит-Са CHA	Ca ₂ [Al ₄ Si ₈ O ₂₄]·13H ₂ O Ca _{0,17} (H ₂ O) _{1,08} Al _{0,33} Si _{0,67} O ₂]	1,17	23,0	10,8
49'	Шабазит-На CHA	Na ₃ K[Al ₄ Si ₈ O ₂₄]·11,5H ₂ O Na _{0,25} K _{0,08} (H ₂ O) _{0,96} Al _{0,33} Si _{0,67} O ₂]	1,18	23,3	11,3
50	Каулсит ^{b)} —	Ca ₆ [Al ₁₂ Si ₁₈ O ₆₀]·33H ₂ O Z=8 (?) Ca _{0,20} (H ₂ O) _{1,1} Al _{0,40} Si _{0,60} O ₂]	1,2	24,7	11,4
51	Фоязит FAU	Na ₂₀ Ca ₁₂ Mg ₈ [Al ₆₀ Si ₁₃₂ O ₃₈₄]·235H ₂ O Na _{0,10} Ca _{0,06} Mg _{0,04} (H ₂ O) _{1,22} Al _{0,31} Si _{0,69} O ₂]	1,3	26,0	11,3
52	Чертнерит TSC	Ca ₆ SrKCu ₃ (OH) ₉ [Al ₁₂ Si ₁₂ O ₄₈]≥20H ₂ O Z=16 Ca _{0,25} Sr _{0,04} K _{0,04} Cu _{0,125} (OH) _{0,38} (H ₂ O) _{≥0,83} Al _{0,5} Si _{0,5} O ₂]	≈1,4	27,4	≤12,4

* IZA — код согласно номенклатуре IZA; в скобках даны аналоги синтетических цеолитов.

** Σ — сумма |H₂O+1,1(K,Ba)+0,5(Na,Ca)|.

^{a)} Следуя графической закономерности, (H₂O)_{≈0,6}, т.е. в формуле 48H₂O и V_N≈11,9.

^{b)} Структура не определена, числовые характеристики версионны.

Причайни. Курсивом выделены единичные или редкие цеолиты.

В сводку не включены два алюмосиликатных цеолита с паракаркасной структурой (с разорванным каркасом, т.е. с [TO_{>2,0}]), оба редкие:

Партеим

— PAR

Ca₈[Al₁₆Si₁₆O₆₀(OH)₈]·16H₂O,

Мариокопаим

— MOR

Pb₇Ca₂(OH)₇[Al₁₁Si₃₇O₉₂(OH)₈]≤25H₂O.

Минералы лейцит и кальборсит включаются, согласно [10], как безводные представители структурных типов анальцима и эдингтонита соответственно.

Для характеристики свойств цеолита издавна введена величина "плотности каркаса" — FD (Framework Density), выражаемая числом T-атомов, обычно (Si,Al), на 1000 Å³. Несмотря на некоторую вычурность, этот параметр (а других нет!?) широко применяется, в том числе и для минералов со смешанными каркасами, где наряду с T-атомами в расчет включаются также пяти-, шестикоординированные Nb, Ti, Zr, Mn, Ca и т.п. [18]. Но FD не связана впрямую с "плотностью" структуры цеолита в целом. Авторы предлагают выражать степень пористости каркаса не через его "плотность" FD, а через удельный объем, приходящийся на один атом (Si,Al,O). Новый параметр V_{fr} (Å³) — "нормализованный объем каркаса" — получается делением объема элементарной ячейки на число [Si,Al,O] в ней. И от V_{fr} остается один шаг (через психологический барьер) до параметра V_N (Å³) — "нормализованного объема соединения". Он вычисляется как эффективный объем "среднего атома", т.е. делением объема элементарной ячейки на число N всех (разных!) атомов в ней: V_N=V_{э.я.}/N. Таким образом, V_N соединения соответствуют его формуле, в которой сумма стехиометрических индексов приведена к единице. Например, для лейцита K[AlSi₂O₆] — число атомов в формуле 10 и Z=16, N=10×16=160 и V_N=2335 Å³/160=14,7 Å³, что отвечает "нормализованной единице" лейцита — (K_{0,1}Al_{0,1}Si_{0,2}O_{0,6})_{Σ1,0}. Как показано ранее [17, 19], параметр V_N, фигурально выражаясь, может восприниматься как *нормализованный эквивалент самого вещества* — *в его соответствии данному составу и строению — в единой количественной шкале*.

Параметр V_N может быть вычислен (в том числе для некристаллических веществ) и через молярный объем V_m=M/d (см³/моль), где M — молярная масса и d — удельный вес; от молярных объемов легко перейти к атомным — делением на число Авогадро, а практически умножением величины V_m на 1,66.

Таблица 3

Примеры расчета объемных характеристик цеолитов

FD: "плотность каркаса" — число атомов Si, Al на 1000 Å ³ . $FD = 1000n_{(Si,Al)} / V_{\text{з.я.}}$	V_{fr} — объем каркаса $[(\text{Si},\text{Al})_n\text{O}_{2n}]$, нормированный на один "средний" атом Si, Al, O, т.е. на $[n+2n]$ атомов	V_N — объем цеолита $[\text{M}_m(\text{H}_2\text{O})_x][(\text{Si},\text{Al})_n\text{O}_{2n}]$, нормированный на один "средний" атом N; $N = m+3x +[n+2n]$.
$\text{Натролит } [\text{Na}_{16}(\text{H}_2\text{O})_{16}][\text{Al}_{16}\text{Si}_{24}\text{O}_{80}]$ $[(\text{Si},\text{Al})_{40}\text{O}_{80}]$ $FD = (1000 \cdot 40) / 2240 = 17,85$	$V_{\text{fr}} = 2240 \text{ Å}^3 / 120 = 18,7 \text{ Å}^3$	$[\text{Na}_{16}(\text{H}_2\text{O})_{16}][\text{Al}_{16}\text{Si}_{24}\text{O}_{80}]$ $N = \{16+48\}+[120] = 184$ $V_N = 2240 \text{ Å}^3 / 184 = 12,2 \text{ Å}^3$
$\text{Фоэзит } [\text{Na}_{20}\text{Ca}_{12}\text{Mg}_8(\text{H}_2\text{O})_{235}][\text{Al}_{60}\text{Si}_{132}\text{O}_{384}]$ $[\text{Al}_{60}\text{Si}_{132}\text{O}_{384}]$ $FD = (1000 \cdot 192) / 14978 = 12,8$	$V_{\text{fr}} = 15000 \text{ Å}^3 / 576 = 26,0 \text{ Å}^3$	$[\text{Na}_{20}\text{Ca}_{12}\text{Mg}_8(\text{H}_2\text{O})_{235}][\text{Al}_{60}\text{Si}_{132}\text{O}_{384}]$ $N = 40+705 +[576] = 1321$ $V_N = 15000 \text{ Å}^3 / 1321 = 11,3 \text{ Å}^3$

Надо иметь в виду, что реальные химические вещества и, тем более, минералы всегда находятся в тесном взаимодействии с окружающей средой, содержат многие дефекты, развитую поверхность, и потому их реальные свойства могут отличаться от идеальных. Это справедливо и для величины (свойства) "среднего" объема V_N . Вычисленная по структурным данным, она является идеализированной и в принципе требует корректировки за счет широко трактуемой "границной области" как результата взаимодействия вещества и среды. Важно, что среда с ее PTX-параметрами (составом и плотностью) также может быть оценена в единой шкале, и существует корреляция между V_N среды и V_N реальных веществ. Однако в обсуждении многих минералогических аспектов полезно использование и идеализированных величин V_N .

По параметру V_N разные классы веществ занимают определенные характерные интервалы, отражающие — при анализе в шкале — специфику их свойств. Так, для типичных органических соединений значения V_N равны 8—11 Å³, для сульфидов 13 (пирит FeS₂) — 28 Å³ (карлинит Tl₂S). Все оксиды, включая и синтезированные в специфических условиях, характеризуются значениями V_N от 7 до 33 Å³, но природные оксиды и оксосоли, геологически равновесные со средой, лежат в интервале 7—19 Å³, а породообразующие — в еще более узком — 8—15 Å³. Параметр V_N "внешней среды", например стандартной близповерхностной, можно оценить, ориентируясь на преобладающую массу силикатов и воды (с ее $V_N \approx 10 \text{ Å}^3$) как $\approx 11 \text{ Å}^3$. (Любопытно усмотреть вероятную корреляцию с V_N органики как основы живой материи.)

В чисто каркасных структурах $V_{\text{fr}} = V_N$. Так, для SiO₂ у фазы высокого давления — коэси-та — $V_N 11,4 \text{ Å}^3$, у кварца $12,6 \text{ Å}^3$, у кристобалита $14,3 \text{ Å}^3$, а тридимит с $V_N 14,7 \text{ Å}^3$ уже нуждается в стабилизации за счет примесных атомов, понижающих V_N . Как видно из табл. 2, для природных цеолитов значения V_{fr} варьируют в широком интервале — от $16,4 \text{ Å}^3$ для бикитита до $27,4 \text{ Å}^3$ для чернериита. Однако параметр V_N цеолита укладывается в интервал $11,5 \pm 1,1 \text{ Å}^3$, и это обеспечивается за счет соответствующей атомной суммы внекаркасной водно-катионной компоненты.

В табл. 3 даны примеры расчета объемных характеристик для цеолитов.

Нормированные формулы (см. табл. 2) содержат "в чистом виде" показатель кремнистости цеолита — $T_{\text{Si}} = \text{Si}/\sum(\text{Al},\text{Si})$: это коэффициент при Si в $[\text{Al}_y\text{Si}_{1-y}\text{O}_2]$. Его значения лежат в пределах 0,5 (томсонит) — 0,89 (мутинант). Содержание H₂O и катионов дано в одной шкале. Так, диапазон количества H₂O 0,33—1,22, и легко сравнивать, например, соотношения H₂O/M. Наглядна роль K как позиционного конкурента H₂O, по сравнению с Na, Ca, (см. амичит—жисмондин с одинаковой топологией каркаса). Существенны (в минерагенетическом аспекте) повышенные значения V_N у высококалиевых цеолитов с относительно меньшей водностью.

Таблица 2 содержит графу суммарного количества нормированных катионов и H₂O, хотя и с условными коэффициентами. Принято, что основной объемный вклад дают молекулы H₂O.

Координирующие их крупные катионы K^+ и Ba^{2+} увеличивают долю эффективно контролируемого пространства (с коэффициентом $\approx 1,1$). "Расталкивающий" эффект среднеразмерных катионов Na^+ и Ca^{2+} оценен в 0,5, а мелких Li^+ и Mg^{2+} как нулевой. Рис. 2 отражает попытку использования этих величин для сопоставления с V_{fr} и V_N . Первое распределение (*a*) показывает в общем ожидаемую корреляцию — чем больше количество водно-катионных ассоциатов, тем больше V_{fr} . На другом графике (*b*) выявляются различия в поведении составов $Na \cdot H_2O$, $Ca \cdot H_2O$ и $K \cdot H_2O$.

Работа выполнена при финансовой поддержке Российского фонда фундаментальных исследований (грант 07-05-00742).

СПИСОК ЛИТЕРАТУРЫ

1. Baerlocher Ch., Meier W.M., Olson D.H. *Atlas of zeolite framework types*. 5th ed. – L.: Elsevier, 2001.
2. Database of Zeolite Structures. <http://www.iza-structure.org/databases>.
3. McCusker L.B. // Rev. Mineral. Geochem. – 2005. – **57**. – P. 1.
4. Бокий Г.Б. Систематика природных силикатов. // Итоги науки и техники. Сер. Кристаллохимия. – М.: ВИНИТИ, 1997, т. **31**.
5. Armbruster T., Gunter M.E. // Rev. Miner. Geochem. – 2001. – **45**. – P. 1.
6. WWW-МИНКРИСТ (2009). Кристаллографическая и кристаллохимическая База данных для минералов и их структурных аналогов. <http://database.iem.ac.ru/mincryst>
7. Olson D.H., Kokotailo G.T., Charnell J.F. // J. Colloid Interface Sc. – 1968. – **28**. – P. 305.
8. Athena Mineralogy Database. <http://un2sg4.unige.ch/athena/mineral/mineral.html>.
9. Годовиков А.А. Минералогия. – М.: Недра, 1983.
10. Coombs D.S. et al. // Canad. Mineral. – 1997. – **35**. – P. 1571.
11. MinMax – Mineral Information System. <http://www.minmax.net/index.php>.
12. Поваренных А.С. Кристаллохимическая классификация минеральных видов. – Киев: Наукова думка, 1966.
13. Bennett J.M., Smith J.V. // Mat. Res. Bull. – 1968. – **3**. – P. 933.
14. Mineralogy Database by D. Barthelmy (2000—2005). <http://webmineral.com/index.shtml>.
15. Bergerhoff G., Baur W.H., Nowacki W. // N. Jb. Mineral., Mh. – 1958. – S. 193.
16. Maxwell I.E., de Boer J.J. // J. Phys. Chem. – 1975. – **79**. – P. 1874.
17. Bakakin V.V., Balko V.P., Seryotkin Yu.V. // Zeolite'97, 5th International Conf., Ischia, Naples, Italy. 1997. Abstracts. – P. 47.
18. Пеков И.В., Турчкова А.Г., Ловская Е.В., Чуканов Н.В. Цеолиты щелочных массивов. – М.: Ассоциация "Экост", 2004.
19. Балко В.П., Бакакин В.В. // Матер. IV Междунар. минералогич. семинара "Теория, история, философия и практика минералогии". – Сыктывкар, 17—20 мая 2006 г. – С. 17.